

I-17

## 繰り返し軸圧縮力を受けるコンクリート充填鋼管の耐荷力実験

豊田工業高等専門学校	正会員 ○ 忠 和男
豊田工業高等専門学校	正会員 桜井孝昌
名古屋工業大学	正会員 後藤芳顕
国士館大学	正会員 松浦 聖

## 1.はじめに

都市高速道路の鋼製橋脚等の構成部材として多用される鋼管部材が、地震力のような繰り返し荷重を受けた時の変形挙動についてはまだ十分に把握されていない。今後、鋼管部材の耐震設計を考える上で、繰り返し荷重を受けたときの変形挙動を解明することは重要なことである。

本研究では、地震力をモデル化した繰り返し軸圧縮を鋼管短柱に載荷し、繰り返しに伴う各制御量毎の最大荷重の低下傾向と、コンクリート充填による補剛効果に着目して実験を行った。なお、本研究では、載荷基準として地震荷重をモデル化したECCSの提案する方法を参考にした。

## 2.実験概要

使用した供試体は、外径60mm、長さ150mmの電縫鋼管で、その形状・寸法・鋼管特性は、図-1及び表-1に示すとおりである。充填したコンクリートの圧縮強度は、299.9Kgf/cm<sup>2</sup>であった。供試体本数は、中空鋼管の単調軸圧縮(S60M)、中空鋼管の繰り返し軸圧縮(S60C)、コンクリート充填鋼管の単調軸圧縮(CS60M)、及びコンクリート充填鋼管の繰り返し軸圧縮(CS60C)の4体である。

実験は、単調軸圧縮実験を行い、この結果を元に繰り返し軸圧縮の制御変位量を決定する。(図-2参照) 繰り返し軸圧縮における基準変位制御量Uyは、表-1に示すとおりである。繰り返し軸圧縮の制御方法は、1Uy迄は

1/4Uyずつ制御量を増やし、2Uy, 3Uy, 4Uy…については各制御変位毎3サイクルずつ反復繰り返し軸圧縮する方法を取った。(文献<sup>1)</sup>参照)

## 3.実験結果

図-3は、縦軸に荷重(ton)、横軸に変位量(mm)を示した荷重-変位曲線である。この図から、コンクリート充填することにより最大荷重はおよそ2倍程度になり耐荷力の増加が認められた。さらに、コンクリート充填では、塑性域に達した

表-1 供試体の諸元

項目		TYPE 60
幾何特性	鋼種	STK 41
供試体長 L mm	150	
半径 r (内径) mm	28.7	
板厚 t mm	1.50	
r / t	20.1	
断面積 A mm <sup>2</sup>	277.6	
力学特性	ヤング係数 E × 10 <sup>4</sup> kgf/mm <sup>2</sup> (Gpa)	2.30 (225.4)
	降伏応力 σy kgf/mm <sup>2</sup> (Mpa)	29.44 (288.5)
	引張強度 kgf/mm <sup>2</sup> (Mpa)	39.97 (391.7)
	降伏歪 εy × 10 <sup>-6</sup>	1280
	ポアソン比 ν	0.3
	降伏荷重 P <sub>y</sub> ton (鋼)	8.172
	(コ)	16.5
	降伏変位 U <sub>y</sub> mm (鋼)	0.4
	(コ)	1.2

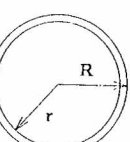
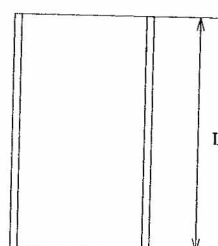


図-1 供試体形状

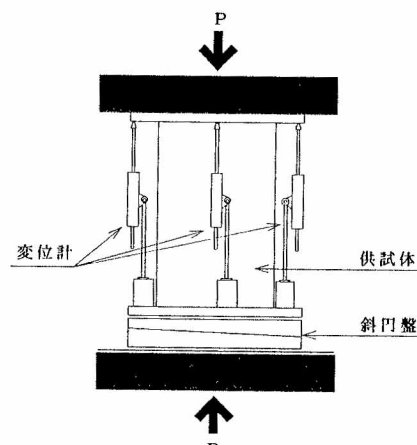


図-2 実験装置

後も荷重低下が緩やかでまだ十分な耐力が期待できる。

図-4は、図-3と同じものであるが、縦軸を素材試験の結果から求めた表-1に示すそれぞれの降伏荷重 $P_y$ で割って無次元化し、横軸はそれぞれの降伏変位 $U_y$ で割って無次元化した荷重-変位曲線である。この図から、 $P_{max}/P_y$ の値は両者ほぼ1.0であるが、最大荷重到達後の変形能においては中空鋼管では8 $U_y$ 迄に急激に低下するのに対して、コンクリート充填では荷重低下も見られず十分な耐力が期待できる。

図-5は、単調載荷と繰り返し載荷の4種類の供試体の荷重-変位曲線を重ね合わせたものである。この図から中空鋼管では最大荷重到達後の低下傾向（図中◎印はS60Cの包絡線上）が単調軸圧縮に比較して繰り返し軸圧縮の方が急激に低下していることが分かる。それに比べ、コンクリート充填鋼管では単調載荷と繰り返し載荷の包絡線を比較してもほとんど差がない。したがって、中空鋼管では繰り返しの影響により急激な荷重の低下が見られるが、コンクリート充填では、その補剛効果が現れ局部座屈発生後の耐力も十分期待できる。

表-2は、繰り返しによる荷重低下の傾向を、変位制御量1 $U_y$ を基準とし、ひとつ前の制御変位量における $P_{max}/P_y$ からどれ程荷重が低下したかを表したものである。表中、 $U_m/U_y$ は $P_{max}/P_y$ に対応する変位を意味し、数値の-は荷重の増加を意味する。この表から、S60Mでは5 $U_y$ で-1.01%の低下率を示すのに対して、S60Cでは5 $U_y$ で13.04%と低下率が大きく繰り返しによる影響であるといえる。それに比べて、コンクリート充填では、単調軸圧縮、繰り返し軸圧縮いずれも7 $U_y$ 付近の低下率は1%程度であり、繰り返しによる影響は見られない。

#### 4、まとめ

コンクリート充填により、繰り返し軸圧縮による繰り返しに伴う荷重低下の影響が少なく、コンクリート充填による十分な補剛効果が確認できた。4種類の供試体のいずれも局部座屈の形状は、一般的な“ちょうちん座屈”的形状を呈していた。

#### 5、参考文献

ECCS：“Recommended Testing Procedure for Cyclic Loads”，No.45, 1986

表-2 繰り返しに伴う荷重低下の傾向

TYPE	$P_{max}/P_y$	$U_m/U_y$	$\kappa = ((P_{n-1} - P_n)/P_{n-1}) * 100(\%)$							
			1 $U_y$	2 $U_y$	$U_y$	4 $U_y$	5 $U_y$	6 $U_y$	7 $U_y$	8 $U_y$
S60M	1.0	4.8	1.0	-52.46	-4.30	-2.06	-1.01	3.0	8.25	7.87
CS60M	1.03	4.5	1.0	-17.95	-8.70	-2.0	-0.98	0.97	0.98	-----
S60C	0.99	4.0	1.0	-34.78	6.45	-11.49	13.04	-----	-----	-----
CS60C	1.04	4.0	1.0	-23.68	-8.51	-1.96	0.0	1.92	0.98	0.99

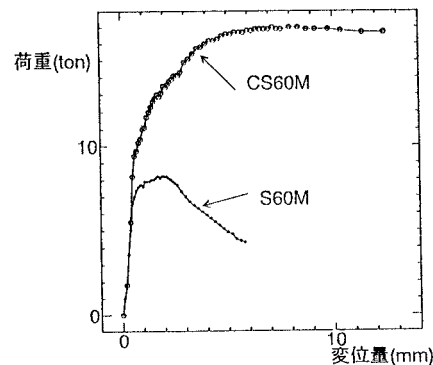


図-3 荷重-変位曲線

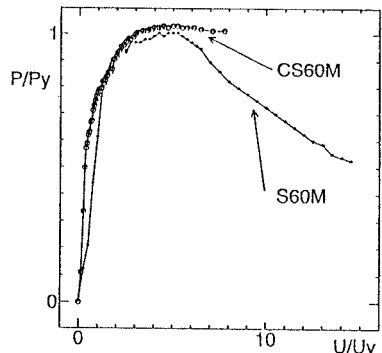


図-4 荷重-変位曲線

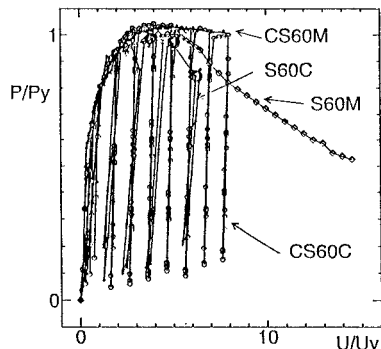


図-5 荷重-変位曲線